



YILDIZ TEKNİK ÜNİVERSİTESİ
FEN BİLİMLERİ ENSTİTÜSÜ

Percus-Yavuz Denk. Tek. Boy. Anal. Çözümleri

Yüksek Lisans Tezi

ARZU GILLI

Fig-

K
110
66

YILDIZ ÜNİVERSİTESİ

FEN BİLİMLERİ ENSTİTÜSÜ

1211

PERCUS-YEVICK DENKLEMİNİN TEK BOYUTTA
ANALİTİK ÇÖZÜMÜ

YÜKSEK LİSANS TEZİ
ARZU ÇİLLİ

İSTANBUL 1992

YILDIZ TEKNİK ÜNİVERSİTESİ
KÜTÜPHANE VE DOKÜMANTASYON
DAİRE BAŞKANLIĞI

Yer No (DDC): R 210
66

Kayıt No : 946
Geldiği Yer : Fen Bilimleri Enst.
Tarih : 11.06.2001
Fiyat : 30.000 TL
Fatura No : x
Aynıyat No : 1/11
Ek :

YILDIZ ÜNİVERSİTESİ

D.B. No.

51509

61509

YILDIZ ÜNİVERSİTESİ

FEN BİLİMLERİ ENSTİTÜSÜ

ÖNEMLİ KİMLİKLER

ÖNSÖZ

ÖZET

SUMMARY

BÖLÜM I : İNCELEME ÇERİĞİ

I-1 : Maddelerin Hali

I. PERCUS-YEVICK DENKLEMİNİN TEK BOYUTTA

I-3 : Sıvı M

ANALİTİK ÇÖZÜMÜ

BÖLÜM II : PREMIS

II-1 : Kristal Olaylarının Denklemleri ve Comstein-

Görünüşleri

II-2 : Kati-Kuru Denklemleri ve Denklemlerin Çözümleri

Denklemi

BÖLÜM III : PERCUS-YEVICK DENKLEMİNİN TEK BOYUTTA ÇÖZÜMÜ

III-1: Tek Bo

YÜKSEK LİSANS TEZİ

ARZU ÇILLİ

BÖLÜM IV : SONUÇLAR VE TAVSİYELER

KAYNAKLAR

İSTANBUL 1992



İÇİNDEKİLER

ÖNSÖZ

ÖNSÖZ

ÖZET

SUMMARY *lisense esligimanda, sağladığı imkanlar dolayısıyla*

BÖLÜM I : GİRİŞ *met ERK'e teşekkürlerle borcum bilirim.*

I-1 : Maddenin Halleri *hoca sayın Doç. Dr. Seyfeddin* 1

I-2 : Sıvı Hal *dr. Dr. İzzet Gür* 2

I-3 : Sıvı Metallerin Genel Özellikleri *Dr. İzzet Gür* 3

BÖLÜM II : PERCUS-YEVICK KATI-KÜRE MODELİ *Dr. İzzet Gür* 6

II-1 : Kristal Olmayan Malzemeler ve Ornstein-Zernike Bağıntısı *teklif edilen bölümdeki tüm arkadaşlar* 6

II-2 : Katı-Küre Potansiyeli ve Percus-Yevick Denklemi *teklif edilen bölümdeki tüm arkadaşlar* 8

BÖLÜM III : PERCUS-YEVICK DENKLEMİNİN ANALİTİK ÇÖZÜMÜ 10

III-1: Tek Boyutlu İntegral Denkleminin Analitik Karakteri 10

III-2: $g(x)$ Fonksiyonunun Çıkarılması ve Sonlu Aralıktaki Denklemlere İndirgeme 22

BÖLÜM IV : SONUÇLAR VE TARTIŞMA 30

KAYNAKLAR

ÖNSÖZ

Yüksek lisans çalışmamda, sağladığı imkanlar dolayısıyla dekanımız Prof.Dr.Şevket ERK'e teşekkürü borç bilirim.

Tezimin danışmanlığını üstlenen hocam sayın Doç.Dr.Seyfeddin KARAGÖZLÜ'ye teşekkür ederim.

Çalışmamın her aşamasında beni yönlendiren, bilgisinden yararlandığım, bölüm başkanımız hocam sayın Prof.Dr.İdris GÜMÜŞ'e çok teşekkür ederim.

Ayrıca tez çalışmamda beni destekleyen bölümdeki tüm arkadaşlara teşekkür ederim.

İndirgenememişti. *İndirgenememişti. tek başına uyruk potansiyelinin aralığını*

ÖZET

Bu çalışmada, Percus-Yevick yaklaşık integral denkleminin çözümü Laplace dönüşümü yardımı ile tek boyutta analitik olarak incelendi.

Percus-Yevick denklemi, katı bir çubuk ve kısa menzilli bir kuyruktan ibaret olan çift potansiyelli bir sistem için ele alındı. Kısa menzilli kuyruğun yokluğunda ve varlığında doğrudan korelasyon fonksiyonunun önemi incelendi.

Sıfır olmayan kuyruk durumunda çift dağılım fonksiyonu tamamen çıkarılarak, doğrudan korelasyon fonksiyonu için denklemdeki integrasyon aralığının tek başına kuyruk potansiyelinin aralığına indirgenebildiği gösterildi.

BÖLÜM I

GİRİŞ

(1.1) MADDENİN HALLERİ

SUMMARY

Maddenin fiziksel halleri ve sınıfla ilişkilidir. Yani, bütün

In this work, the solution of the Percus-Yevick approximate integral equation has been analytically examined in one dimension by means of Laplace transform.

Percus-Yevick equation has been treated for the class of pair potentials consisting of a hard rod and a short-range tail. The importance of the direct correlation function was examined in the absence and the presence of the short-range tail.

In the case of nonzero tail, the pair distribution function has been eliminated completely, and it was shown that the interval of integration in the equation for the direct correlation function could be reduced to the range of the tail potential alone.

Düzenli bir molekül sıvılarının hali, sığışma veya nükleer atom dağılımları gibi yaklaşımlardan daursa dilsizidir ve gaza haliindeki atom dağılımları gibi yaklaşımlardan daursalıdır. Bu nedenle sıvıyan aralarında, sivı halinin yapısının temsil ededeki modelin kurulmasını engeller ve bu nedenle sıvı hal kuramı, gaz ve katı hal kuramlarına göre yavaş gelişmiş kaydetmektedir. (1.1.4.4.7)

Ayrıca, sıvıf veya sıvı halide direk adlandırılan bir özel hal vardır. Bu hal menzil olarak sıvının maddeyi hızla soğutma ile elde edilmesi ve sıvı halının çok yakın bir arası dağılmama sahiptir.

BÖLÜM I

GİRİŞ

(I.1) MADDENİN HALLERİ

(I.2) SİVİ HAL

Maddenin fiziksel halleri üç sınıfa ayrılabilir. Yani, bütün elementler ve kimyasal bileşenler sıcaklık ve basınç şartlarına bağlı olarak doğada katı, sıvı ve gaz formunda bulunurlar. On dokuzuncu yüzyılın sonuna kadar gaz halinin kuramında ve yirminci yüzyıl içerisinde katı halin kuramında büyük gelişmeler elde edilmiştir. Gaz ve katı hale karşın, sıvı halin kuramı yavaş aşamalar yapmış gibi görülmektedir. Bunun başlıca sebepleri şunlardır:

Gaz halinde atomlar rastgele dağılırlar ve atomların hareketi tamamen düzensizdir. Diğer taraftan, katı halde atomlar üç boyutlu öргünün belli noktalarında titreşirler. Atomların dağılımındaki bu iki zıt durum, bu iki hale ait yapıyı tanımlamak üzere basit modellerin kurulmasına katkı sağlar. Sıvı halde atom dağılımı katı hale nazaran daha düzensizdir ve gaz halindeki atom dağılımına göre yakın mesafelerde düzenlidir. Bu açık olmayan ara durum, sıvı halin yapısını temsil edecek modelin kurulmasını engeller ve bu nedenle sıvı hal kuramı, gaz ve katı hal kuramlarına göre yavaş gelişme kaydetmektedir. [1,2,3,4,5,6,7]

Ayrıca, amorf veya camsı hal diye adlandırılan bir özel hal vardır. Bu hal genel olarak erimiş maddeyi hızlı soğutma ile elde edilir ve sıvı halinkine çok yakın bir atom dağılımına sahiptir.

Amorf hal termodinamik bakımdan kararsız ise de, deneysel zaman ölçeğimiz içersinde oda sıcaklığındaki özelliklerde hiçbir değişme bulunamaz. [4]

İçin bir sırada enek özelliklerin bakımdan bir hata gibi davranışları ve bu davranışların biraz düzenli yapısı sahiptir.

(I.2) SIVI HAL
Sivillerin ve ekimli maddeden doğumla ile elde edilenler bu hal yerde. Siviların yapıları da amorf

Maddenin üç halinden biri olan sıvı madde düzenli ve düzensiz yapı arasında olan bir yapıyı sergiler. Bu özelliğinden dolayı, hem deneysel hem de kuramsal yöntemlerle sıvı yapının çözümlenmesine büyük bir gayret sarfedilmesine rağmen, şimdije kadar sıvı yapıda atomların dağılım düzeninin anlatımı katı ve gaz hallerdeki gibi geliştirilmemiştir. [1,2,3,4,5,6,7]

Siviların yapıları, X-ışın ve nötron difraksiyon deneylerinin sonucunda incelenebilmektedir. Kristal katının X-ışın difraksiyon örneği simetrik olarak keskin piklerden ibarettir. Gaz durumu için, X-ışın difraksiyon örnekleri maksimum olmayan sürekli bir saçılma şiddetini gösterir. Bu durum, düşük yoğunlukta bir gazdaki atomik yerleşimin düzensizliği ile açıklanabilir. [6]

Siviların X-ışın difraksiyon örneğinde bir kaç maksimum ve minimum vardır ve bunlar bazı düzenli sıkı istiflenmiş yapılar-dakine karşılık gelen mesafelerde meydana çıkarlar. Bu durum, sıviların bir dereceye kadar kısa menzilli düzene fakat uzun menzilli düzensizliğe sahip olduğunu gösterir.

Sıvıları incelerken moleküllerarası ölçek kadar zaman ölçüde temel öneme sahiptir. Bazen sıvı halin katı ve gaz halinin özellikleri arasında ara özelliklere sahip olduğu söylenir. Bu değişimeye bir yapıya sahip olduğunda kristalli oluşturacaktır.

ifade, özelliklerin gözönüne alınması halinde zaman işe karıştırılırsa doğru olacaktır. Katılar düzenli olduğu kadar zamandan bağımsız olan bir yapıya da sahiptirler. Kısa zaman aralıkları için bir sıvı esnek özellikler bakımından bir katı gibi davranışır ve kısa mesafeler için biraz düzenli yapıya sahiptir.

Amorf katı adı verilen ve erimiş maddeden soğutma ile elde edilebilen özel bir hal vardır. Sıvıların yapıları da amorf katıların yapılarına benzer. Amorf katı sıvı halin atomik konfigürasyonunu sağlar. ^[4]

Sıvı halde metallerin, alaşımaların, oksidlerin ve tuzların değişik özelliklerinin anlaşılması için artan bir gereksinim vardır. Çünkü bunların bazı metalurjik işlemlerde önemli rolleri vardır. Bu sebeplerden dolayı, güncel ilgi kristal olmayan sistemlere (hem sıvı hem de amorf hallere) çekilmiştir. ^[5]

(I.3) SIVI METALLERİN GENEL ÖZELLİKLERİ

Sıvı metallerin ve alaşımalarının fiziksel özellikleri atmosfer basıncının normal şartları altında incelenerek bilimsel ve teknik olarak ifade edilebilir.

Sıvı halin karakteristik özelliklerini düşünmek için ilk önce onun yapısını katı ve gaz durumlarının yapısı ile karşılaştırmak gerekecektir.

İdeal bir katıda ki veya bir kristaldeki atomlar örgü noktalarda düzenli olarak dizilmişlerdir. Atomların bu düzenli yerleşimi uzun menzilli ve üç boyutludur. İdeal bir katı değişimyen bir yapıya sahip olduğunda kristali oluşturacaktır.

İdeal bir gazda her bir atom hacim içinde serbest olarak geçiş yapabilir. Bu basit modeller gerçek katılar ve gazlar için faydalı sonuçlara yol gösterir. (örneğin, Spesifik ısı için Einstein's formülü, Brillouin bölgesi ve Boyle-Charles Kanunu).

Sıvı ve gaz fazlarındaki moleküller yer değiştirmede serbesttirler.

Sıvıları katıların özellikleri ile karşılaştırıldığımızda, sıvıların viskozitelerinin çok düşük fakat difüzlemelerinin çok yüksek olduğunu görürüz.

Sıvı haldeki bir atom dalgalanmalar boyunca çevresindeki atomlara göç edebilir. Eğer sıvı haldeki bir atomun herhangi bir anını düşünürsek, bu atom onu çevreleyen atomlarla karşılıklı olarak etkileşecektir.^[7] Yani, sıvı hal katı gaz hallerinin özellikleri arasında kalan özellikleri göstermektedir.

Katı madde düşük sıcaklıklarda, gazlar yüksek sıcaklıklarda ve sıvılar orta sıcaklık değerlerinde bulunurlar. Bir sıvı bir katıya benzeyecek, fakat bir gaza daha çok benzeyecektir.

Sıvıların ve katıların yoğunlukları da benzerdir. Her ikisi de ortalama atomlararası mesafelere ve benzer sayı yoğunluklarına sahiptir.

Sıvıların ve katıların kohezyon özellikleri de benzerdir.

Sıvıdan gaza doğru süreksiz bir değişme yoktur. Diğer bir değişle, sıvı ve gaz kritik nokta da uzun süreli olarak ayırdı edilemez, çünkü bunlar sürekli yapıya sahip değildir. Bir sıvı yoğun bir gaz olarak düşünülebilir. Gazlar ve sıvılar akışkanlar olarak kabul edilir.

Sıvı metallerin fiziksel özelliklerinin en önemlilerinden birisi buharlaşma entalpisidir. Bir sıvının entalpisi bir katının entalpisinden daha büyüktür. Buharlaşma entalpisi bir sıvı metalin kohezyon enerjisinin doğrudan ölçümüdür. Sıvı metallerin diğer fiziksel özellikleri (örn; yüzey gerilimi, termal genleşme, sıkışabilirlik ve ses hızı) buharlaşma entalpileri ile ilişkili dir.

Gazlar tanımlanırken bir ideal gazın varlığından bahsedilir. Fakat sıvı halin tanımlanması zor olduğundan ideal sıvı mevcut değildir. Buna rağmen son zamanlarda sıvı metallerin bazı özellikleri basit bir modelle başarı ile açıklanabilmektedir ki bu modelde atomlar katı ve hareketsiz küreler olarak ifade edilirler, yani katı-küre modeli.⁷⁾

Kristal sivaların sıvıdelerin yapısı verilen sıcaklık ve basınçta parçacıklar arasındaki etkileşmeye dayalı kuramlar ile ilişkili edilirler. Bu durum için, çift potansiyel ve çift dağılım fonksiyonun kullanılması gereklidir.⁸⁾

Çift dağılım fonksiyonu sıvılardan zaten fazla önemlidir yoksa kullanılır. Denge durumunda molekülün pozisyonları ve yonları en iyi olarak bu fonksiyon ile tanımlanabilir. Çift dağılım fonksiyonu r 'nın büyükliğine bağlıdır. Çoğu sıvılar genellikle izotropik olduğundan r 'nın yüzeyle bağlı değildir. Genellikle çift dağılım fonksiyonu yerine, bir korelasyon fonksiyonu kullanmak uygundur.

Toplam korelasyon fonksiyonu $h(r)$,

$$h(r) = g(r) - 1 \quad (II-1.1)$$

olarak tanımlanır. Burada $g(r)$ çift fonksiyondur. $h(r)$ toplam korelasyon fonksiyonu referansının $r=|r-r'|$ mesafesindeki diğer

BÖLÜM II

$h(r)$ fonksiyonu tanımına göre iki kere ayrılabılır; referans atomunun diğeri PERCUS-YEVICK KATI-KÜRE MODELİ

(II-1) KRİSTAL OLMAYAN MALZEMELER VE ORNSTEIN-ZERNIKE BAĞINTISI

Dogrulanmayan bir kısım sıvılar sıvılarla tanımlanıyor ve Kristal olmayan malzemeler sıvı ve amorf olarak iki grub altında toplanabilir. Sıvı yapıda metaller, alaşımalar, oksidler, tuzlar ve kompleksleri; amorf yapıda metalik camlar ve amorf yarı iletkenler örnek olarak sıralanabilir. Amorf yapı katı olmasına karşın atom dağılımı yönünden sıvı hale çok yakındır. Bu malzemelerin değişik fizikal özelliklerine ait problemlere deneysel ve kuramsal olarak büyük gayretler sarfedilmektedir.^[5]

Kristal olmayan sistemlerin yapısı verilen sıcaklık ve basınçta parçacıklar arasındaki etkileşmeye dayalı kuramlar ile hesap edilirler. Bu durum için, çift potansiyel ve çift dağılım fonksiyonunun bilinmesi gereklidir.^[1,4,5]

Çift dağılım fonksiyonu sıvıların modern teorisi için önemli bir yer teşkil eder. Denge durumundaki sıvıların özellikleri ve yapıları en iyi olarak bu fonksiyon ile tanımlanabilir. Çift dağılım fonksiyonu r 'nin büyülüğüne bağlıdır. Gerçek sıvılar genellikle izotropik olduğundan r 'nin yönüne bağlı değildir.^[7]

Genellikle çift dağılım fonksiyonu yerine, bir korelasyon fonksiyonu kullanmak uygundur.

Toplam korelasyon fonksiyonu $h(r)$,

$$h(r) = g(r)-1 \quad (\text{II-1.1})$$

olarak tanımlanır. Burada $g(r)$ çift fonksiyondur. $h(r)$ toplam korelasyon fonksiyonu referans atomunun $r=|\vec{r}-\vec{r}'|$ mesafedeki diğer

atom üzerindeki toplam etkisinin bir ölçüsüdür.

$h(r)$ fonksiyonu tanımına göre iki kısma ayrılabilir; referans atomunun diğer atom üzerindeki doğrudan etkisini anlatan doğrudan korelasyon fonksiyonu $C(r)$ ve diğer atomların etkisini anlatan doğrudan olmayan kısım.

Doğrudan olmayan kısım bir konvolüsyon olarak tanımlanıyor ve Ornstein-Zernike bağıntısı

$$h(r) = C(r) + \rho_0 \int C(|\vec{r} - \vec{r}'|) h(\vec{r}') d\vec{r}'. \quad (\text{II-1.2})$$

yararlı bir yöntem sağlarlar.

ile veriliyor, burada ρ_0 parçacık sayı yoğunluğuudur.

$C(r)$ doğrudan korelasyon fonksiyonu için grup açılımından, yaklaşık

$$C(r) = g(r) [1 - \exp(\phi(r)/k_B T)] \quad (\text{II-1.3})$$

hakim olduğu sistemlerde sonuçları verdiği bilinir.

Sırasıyla açık olarak $\phi(r)$ potansiyelinin esnek yapı

Percus-Yevick denklemi elde edilir. Percus-Yevick denkleminde iki boyutlu Ornstein-Zernike bağıntısı kullanılır.

(II-1.3) bağıntısında, T sıcaklık, $\phi(r)$ çift potansiyel ve k_B Boltzmann sabitidir.

Sonuç olarak, Percus-Yevick integral denklemi Ornstein-Zernike tarafından ortaya çıkarılan $C(r)$ doğrudan korelasyon fonksiyonu ile katı küre potansiyeli için kesin olarak çözülmüştür. [12,13,14]

Percus-Yevick korelasyon modeli, sıvı metal ve sığamaların yapısının ve dengevi yapı faktörlerinin temel göstergelerini verdiği kabul ediliyor. Bu yapı faktörlerinin yapı faktörlerinin bayanı hal-

(II.2) KATI KÜRE POTANSİYELİ VE PERCUS-YEVICK DENKLEMİ

Kristal olmayan sistemlerin yapısının [$g(r)$ ve $S(k)$] X- ışın difraksiyon deneyleri ile belirlenebilmesinin yanı sıra, bu sistemlerin yapısını anlamak için çeşitli yaklaşık denklemler önerilmiştir. [1,4,5,6]

Bunlar Born-Green denklemi, Percus-Yevick denklemi ve Hypernetted-Chain denklemi olarak bilinirler. Bu yaklaşık teoriler kristal olmayan sistemlerin yapısını tartışmak için yararlı bir yöntem sağlarlar.

Burada Percus-Yevick denklemi tartışılacaktır. Grup açılımının diagramsal analizinde, Percus-Yevick denklemine Hypernetted-Chain denklemine alınan terimlerden daha az terim alınmış olmasına karşılık, Percus-Yevick denkleminin kısa menzilli kuvvetlerinin hakim olduğu sistemler için daha iyi sonuçlar verdiği bilinir. Bu üstünlük açık olarak katı-küre potansiyeline sahip olan yapı modelinde görünür.

Wertheim ve Thiele tarafından gösterildiği gibi, Percus-Yevick denklemi katı-küre potansiyeli için kesin olarak çözülebilir ve çift dağılım fonksiyonunun veya yapı faktörünün analitik ifadesi elde edilebilir. [12,14]

Sıvı metallerin yapısı için Percus-Yevick denkleminin katı-küre çözümü ilk defa Ashcroft ve Lekner tarafından tartışılmıştır. [15]

Percus-Yevick katı-küre modeli, sıvı metal ve alaşımaların yapısının ve deneysel yapı faktörünün temel görünüşünü verdiği kabul edilir. Sıvı metallerin yapı faktörlerinin tayini hala

devam etmekte olan bir çalışmadır. Ve bu yüzden Percus-Yevick katı-küre modeli kristal olmayan malzemelerin yapısal incelemesinde önemli bir yer tutar.

Daha önceki bölümde açıkladığımız gibi; doğrudan korelasyon fonksiyonu için,

$$C(r) = g(r) \{1 - \exp[-\phi(r)/k_B T]\}$$

şeklindeki yaklaşık denklem Percus-Yevick denklemi olarak bilinir. Burada $\phi(r)$ çift potansiyel, T sıcaklık ve k_B Boltzmann sabitidir.

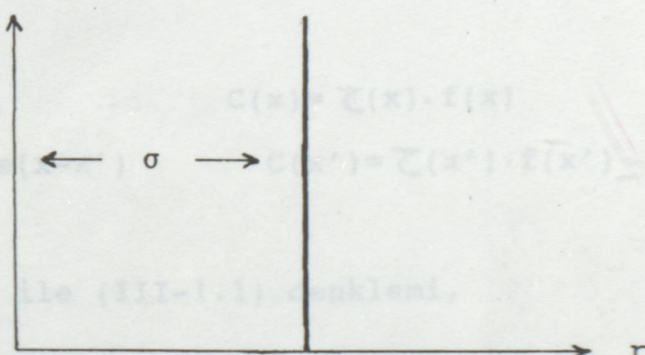
Katı küre potansiyeli,

$$\phi(r) = \begin{cases} \infty & r \leq \sigma \\ 0 & r > \sigma \end{cases}$$

Burada $\sigma(x) = \exp(-\beta V(x))$, $V(x) = \epsilon(x)/k_B T$ ve $\beta = (k_B T)^{-1}$ dir.

Ornstein ve Zernike'in $\phi(r)$ doğrudan korelasyon fonksiyonu ve şeklinde tanımlanır ve Şekil (II-1)'de gösterildiği gibidir.

$$\phi(r)$$



Şekil (II-1)

Katı küre potansiyelinde, σ katı-küre çapı ve r atomlar arasındaki mesafedir.



BÖLÜM III

$V(x) = V_s + V_r$ durumunda,

$V_p=0$ PERCUS-YEVICK DENKLEMİNİN ANALİTİK ÇÖZÜMÜ

ile veriliyor.

(III-1) TEK BOYUTLU İNTEGRAL DENKLEMİNİN ANALİTİK KARAKTERİ

çubuklu boyutta, mesafeyi çubuktan a kadar uzaklıktaki meş-

Tek boyutta $V(x)$ potansiyelli birbirini çeken çiftli parçacıkların oluşturdukları bir sistem için PY denklemi

$$\bar{C}(x) = 1 - \rho \int_{-\infty}^{\infty} \bar{C}(x') f(x') dx' + \rho \int_{-\infty}^{\infty} \bar{C}(x') f(x') \bar{C}(x-x') e(x-x') dx' \quad (\text{III-1.1})$$

Burada

Burada $e(x) = \exp[-\beta V(x)]$, $f(x) = e(x)-1$, ρ yoğunluk ve $\beta = (kT)^{-1}$ dir.

Ornstein ve Zernike'in $C(x)$ doğrudan korelasyon fonksiyonu ve $g(x)$ çift dağılım fonksiyonu Percus-Yevick yaklaşımında $\bar{C}(x)$ ile ilişkilidir:

$$g(x) = \bar{C}(x) \cdot e(x) \quad C(x) = \bar{C}(x) \cdot f(x) \quad (\text{III-1.2})$$

$$g(x-x') = \bar{C}(x-x') \cdot e(x-x') \quad C(x') = \bar{C}(x') \cdot f(x')$$

şeklinde.

Bu ifadeler yardımı ile (III-1.1) denklemi,

$$\bar{C}(x) = 1 - \rho \int_{-\infty}^{\infty} C(x') dx' + \rho \int_{-\infty}^{\infty} C(x') g(x-x') dx' \quad (\text{III-1.3})$$

şeklini alır.

$V(x) = V_H + V_T$ durumunda; ~~mesaçak~~

V_H katı-çubuk potansiyeli,

$$V_H=0 \quad (|x|>1), \quad V_H=\infty \quad (|x|<1)$$

ile verilir.

V_T kuyruk potansiyeli $|x|>1+a$ için $V_T=0$ oluyor. Burada 1 katı çubuğun boyudur, $1+a$ mesafesi çubuktan a kadar uzaktaki mesafedir. x uzaklığı ise $1 < x < 1+a$ şeklindedir.

(III-1.1) ifadesinin tek taraflı Laplace dönüşümünü alalım.

$$\begin{aligned} \int_0^\infty e^{-sx} \bar{C}(x) dx &= \int_0^\infty 1 \cdot e^{-sx} dx - \rho \int_0^\infty e^{-sx} \left[\int_{-\infty}^\infty C(x') dx' \right] dx \\ &\quad + \rho \int_0^\infty e^{-sx} \left[\int_{-\infty}^\infty C(x') g(x-x') dx' \right] dx \end{aligned} \quad (\text{III-1.4})$$

Burada

$$I_1 = \int_0^\infty e^{-sx} \bar{C}(x) dx$$

$$I_2 = \int_0^\infty 1 \cdot e^{-sx} dx \quad (\text{III-1.5})$$

$$I_3 = -\rho \int_0^\infty e^{-sx} \left[\int_{-\infty}^\infty C(x') dx' \right] dx$$

$$I_4 = \rho \int_0^\infty e^{-sx} \left[\int_{-\infty}^\infty C(x') g(x-x') dx' \right] dx$$

şeklindedir.

İlk önce I_1 ifadesini ele alalım.

0'dan ∞ 'a olan integral yolunu 0'dan $1+a$ 'ya ve 1 'den ∞ 'a olacak şekilde bölelim. ^[11]

$$I_1 = \int_0^{1+a} e^{-sx} \bar{C}(x) dx + \int_{1+a}^\infty e^{-sx} \bar{C}(x) dx \quad (\text{III-1.6})$$

(III-1.2) bağıntıları kullanarak

(III-1.13)

$$I_1 = - \int_0^{L+a} C(x) e^{-sx} dx + \int_L^\infty g(x) e^{-sx} dx \quad (\text{III-1.7})$$

şeklini alır.

(III-1.14)

 I_1 denkleminin 1.terimine $F(s)$, 2.terimine $G(s)$ diyelim, böylece

$$I_1 = F(s) + G(s) \quad (\text{III-1.15})$$

şeklinde olur.

 I_2 ifadesi,

$$I_2 = \int_0^\infty 1 \cdot e^{-sx} dx = \frac{1}{s} \quad (\text{III-1.8})$$

Konvolüsyon tanımlını kullanacağı.

Konvolüsyon tanımı:

şeklindedir.

$$I_3 = -\rho \int_0^\infty e^{-sx} \int_{-\infty}^\infty C(x') dx' dx \quad (\text{III-1.9})$$

ifadesi,

Integral denklemlerin Laplace dönüşümü ile çözümünden

$$I_3 = -\rho \int_{-\infty}^\infty e^{-sx} \int_0^\infty C(x') dx' dx \quad (\text{III-1.10})$$

şeklinde yazılabilir.

Böylece,

$$I_3 = -\rho \int_{-\infty}^\infty e^{-sx} \left[\int_0^{L+a} C(x') dx' + \int_L^\infty C(x') dx' \right] dx \quad (\text{III-1.11})$$

$$I_3 = -\rho \int_{-\infty}^\infty e^{-sx} \int_0^{L+a} C(x') dx' dx \quad (\text{III-1.12})$$

şeklini alır.

$$\int_0^{L+a} C(x') dx' = -\frac{K}{2} \quad \text{diyelim.}$$

$$I_3 = -\rho \left(-\frac{K}{2} \right) \int_{-\infty}^{\infty} e^{-sx} dx \quad (\text{III-1.13})$$

$$I_3 = \frac{K\rho}{2} \cdot 2 \int_0^{\infty} e^{-sx} dx = \frac{K\rho}{s} \quad (\text{III-1.14})$$

şeklinde bulunacaktır.

$$I_4 = \rho \int_0^{\infty} e^{-sx} \left[\int_{-\infty}^{\infty} C(x') g(x-x') dx' \right] dx \quad (\text{III-1.15})$$

Integral denklemini çözmek için Laplace dönüşümünün Konvolüsyon teoremini kullanacağız.

Konvolüsyon tanımı:

$$\mathcal{L}\{f*g\} = F(s)G(s) = \lim_{R \rightarrow \infty} \int_0^R e^{-st} dt \int_0^t f(\tau)g(t-\tau) d\tau \quad (\text{III-1.16})$$

şeklindedir.

0 ve $+\infty$ aralığındaki Laplace integrali sağ yarı düzlemede, $-\infty$ ve 0 aralığındaki Laplace integrali ise sol yarı düzlemede yakınsaktır. ^[8] Bu özellikten yararlanarak,

$$\int_{-\infty}^0 e^{-st} f(t) dt = \int_0^{\infty} e^{st} f(-t) dt \quad (\text{III-1.17})$$

$$\int_0^{\infty} e^{st} f(-t) dt = F(-s) \quad (\text{III-1.18})$$

$$\int_{-\infty}^0 e^{-st} f(t) dt = F(s) \quad (\text{III-1.19})$$

integralerini yazabiliriz.

Konvolüsyon tanımını C ve g fonksiyonlarına uygulayalım.

$$\mathcal{L}\{C^*g\} = \lim_{L \rightarrow \infty} \int_0^L e^{-sx} dx \int_0^x C(x') g(x-x') dx' = F(s)G(s) \quad (\text{III-1.20})$$

$$\lim_{L \rightarrow \infty} \int_{-\infty}^L e^{-sx} dx \left[\int_x^{\infty} C(x') g(x-x') dx' + \int_{L+x}^{L+x} C(x') g(x-x') dx' \right] \quad (\text{III-1.20})$$

$$= \lim_{L \rightarrow \infty} \int_{-\infty}^L e^{-sx} dx \int_x^{\infty} C(x') g(x-x') dx' - \lim_{L \rightarrow 0} \int_{-\infty}^L e^{-sx} dx \int_{L+x}^{\infty} C(x') g(x-x') dx' \quad (\text{III-1.21})$$

$$= - \int_{-\infty}^0 e^{-sx} dx \int_0^x C(x') g(x-x') dx' - \int_{-\infty}^0 e^{-sx} dx \int_{L+x}^{\infty} C(x') g(x-x') dx' \quad (\text{III-1.22})$$

$$= -F(s)G(s) - \int_{-\infty}^0 e^{-sx} dx \int_{L+x}^{\infty} C(x') g(x-x') dx' \quad (\text{III-1.23})$$

$$\int_{L+x}^{\infty} C(x') g(x-x') dx' = -y(x) \quad (\text{III-1.24})$$

diyelim. (III-1.23) ifadesi,

$$= -F(s)G(s) + \int_{-\infty}^0 e^{-sx} y(x) dx \quad (\text{III-1.30})$$

$$= -F(s)G(s) + \int_{-\infty}^a e^{-sx} y(x) dx + \int_a^{\infty} e^{-sx} y(x) dx \quad (\text{III-1.25})$$

şeklini alır.

$$y(x) \equiv - \int_{L+x}^{\infty} C(x') g(x-x') dx' \quad (0 < x < a) \quad (\text{III-1.26})$$

$$y(x) \equiv 0 \quad (x < 0 \text{ ve } x > a)$$

şartlarını kullanırsak; $\int_{-\infty}^a e^{-sx} y(x) dx = 0$ olur.

Böylece, (III-1.25) ifadesi,

$$=-F(s)G(s)-\int_0^a e^{-sx}y(x)dx-s[Y(s)-Y(-s)] \quad (\text{III-1.27})$$

şeklinde olur.

$$\int_0^a e^{-sx}y(x)dx=Y(s) \quad (\text{III-1.28})$$

diyelim.

$l \rightarrow 0$ 'a gittiğinde konvolüsyon teoremine göre I_4 integralinin I.kısımı;

$$= -F(s)G(s)-Y(s) \quad (\text{III-1.29})$$

şeklinde elde edilir.

$l \rightarrow \infty$ 'a gittiğinde II.kısım;

$$\lim_{l \rightarrow \infty} \int_0^l e^{sx} dx \left[\int_x^\infty C(x')g(x-x')dx' + \int_{l+x}^\infty C(x')g(x-x')dx' \right] \quad (\text{III-1.39})$$

$$=\lim_{l \rightarrow \infty} \int_0^l e^{sx} dx \int_x^\infty C(x')g(x-x')dx' + \lim_{l \rightarrow \infty} \int_0^l e^{sx} dx \int_{l+x}^\infty C(x')g(x-x')dx' \quad (\text{III-1.30})$$

(III-1.26) şartları ve (III-1.28) ifadesi kullanılarak (III-1.30) ifadesi,

$$=-\int_0^\infty e^{sx} dx \int_0^x C(x')g(x-x')dx' - \int_0^\infty e^{sx} dx \int_{l+x}^\infty C(x')g(x-x')dx' \quad (\text{III-1.31})$$

$$=-F(-s)G(s) + \int_0^\infty e^{sx}y(-x)dx \quad (\text{III-1.32})$$

$$=-F(-s)G(s) + \int_0^a e^{sx}y(-x)dx + \int_a^\infty e^{sx} \cdot 0 dx \quad (\text{III-1.33})$$

$$=-F(-s)G(s)+Y(-s) \quad (\text{III-1.34})$$

şeklinde elde edilir.

I_4 genel ifadesi I. ve II. kısımların toplamından ibaret olacaktır.

$$I_4 = \rho [-F(s)G(s) - Y(s) - F(-s)G(s) + Y(-s)] \text{inden bir terim} \quad (\text{III-1.35})$$

$I_4 = -\rho [F(s) + F(-s)]G(s) - \rho Y(s) + \rho Y(-s)$ olmalıdır. $G(s)$ fonksiyonu şeklinde elde edilebilir. sağ yarı düzlemedeki $G(s)$ konksiyonu

nun $I_1 = I_2 + I_3 + I_4$ olduğundan, I_1 elde edilir.

$$F(s) + G(s) = 1/s + K \quad \rho /s - \rho [F(s) + F(-s)]G(s) - \rho Y(s) + \rho Y(-s) \quad \text{B. gibi}$$

ortakACESİTİ olan iki bölge arasında olur. $F(s)$ ve $G(s)$ bir

$$(\text{III-1.37})$$

$$F(s) + G(s) = (1 + \rho K)/s - \rho [F(s) + F(-s)]G(s) - \rho Y(s) + \rho Y(-s) \quad \text{B. gibi}$$

$G(s)$ bölgeinin her noktasının tamamı olan $f(x)$ formunda olur.

$$(\text{III-1.38})$$

dir. $f(x)$ "holomorf" adı verilir.)

Bu ifadeden $G(s)$ için bir çözüm elde edilir;

$$G(s) + \rho F(s)G(s) + \rho F(-s)G(s) = (1 + \rho K)/s - F(s) - \rho Y(s) + \rho Y(-s)$$

bu halde, her biri fonksiyonun bir parçasıdır.

$$(\text{III-1.39})$$

$$G(s)[1 + \rho F(s) + \rho F(-s)] = (1 + \rho K)/s - F(s) - \rho Y(s) + \rho Y(-s)$$

$G(s)$ fonksiyonunun diğer taraflarına dönüştürülmesi gereklidir.

$$(\text{III-1.40})$$

$$(1 + \rho K)/s - F(s) - \rho Y(s) + \rho Y(-s)$$

$$G(s) = \frac{1 + \rho F(s) + \rho F(-s)}{1 + \rho F(s) + \rho F(-s)} \quad (\text{III-1.41})$$

$$1 + \rho K \equiv Q^2 \quad \text{koyarsak,}$$

$$Q^2 s^{-1} - F(s) - \rho Y(s) + \rho Y(-s)$$

$$G(s) = \frac{Q^2 s^{-1} - F(s) - \rho Y(s) + \rho Y(-s)}{1 + \rho F(s) + \rho F(-s)} \quad (\text{III-1.42})$$

olarak elde ederiz.

$C(x)$ ve $g(x)$ fonksiyonlarının her yerde sonlu olduğunu farzedelim. Böylece $F(s)$ ve $Y(s)$ sonlu bir aralık üzerinden Laplace dönüşümü olan, s' e bağlı tam fonksiyonlardır. Tam fonksiyonlar sonsuz dışında her yerde yakınsaktır. Yani tam fonksiyonlar,

sonlu düzlemede yakınsak tam serilerle gösterilebilen fonksiyonlardır.^[9]

$G(s)$ fonksiyonu ise sonsuz aralık üzerinden bir Laplace dönüşümüdür. Ve sağ yarı düzlemede (RHP) düzenlidir. $G(s)$ fonksiyonu, sol yarı düzlemede (LHP) ise, sağ yarı düzlemedeki $G(s)$ fonksiyonunun analitik uzanımı ile tanımlanır.^[11]

Analitik uzanım kavramını şöyle tanımlayabiliriz; D_1 ve D_2 gibi ortak parçaları olan iki bölge düşünelim. $f_1(z)$, D_1 de $f_2(z)$, D_2 de tek değerli ve holomorf iki fonksiyon olsun. (Holomorf: Bir D bölgesinin her noktasında türevi olan $f(z)$ fonksiyonuna bu bölgede "holomorf" adı verilir.)

Eğer $f_1(z)$ ve $f_2(z)$, bu iki bölgenin Δ ortak parçasında eşit ise, $f_2(z)$, $f_1(z)$ 'nin D_1 dışına analitik uzanımıdır denir.

Şu halde, bir $f(z)$ fonksiyonunun D_1 bölgesinde holomorf olan bir $f_1(z)$ elemanı verildiğinde, analitik uzanım ile, eğer varsa, fonksiyonunun diğer elemanları bundan elde edilebilir.^[9]

$$Q^2 s^{-1} - F(s) - \rho Y(s) + \rho Y(-s)$$

$$G(s) = \frac{Q^2 s^{-1} - F(s) - \rho Y(s) + \rho Y(-s)}{1 + \rho F(s) + \rho F(-s)} \quad (\text{III-1.43})$$

İfadelerde $s \rightarrow -s$ konarak,

$$-Q^2 s^{-1} - F(-s) - \rho Y(-s) + \rho Y(s)$$

$$G(-s) = \frac{-Q^2 s^{-1} - F(-s) - \rho Y(-s) + \rho Y(s)}{1 + \rho F(-s) + \rho F(s)} \quad (\text{III-1.44})$$

olduğu ortaya çıkar ve iki denklem birbirine oranlanırsa,

$$G(s) [1 + \rho F(s) + \rho F(-s)] = Q^2 s^{-1} - F(s) - \rho Y(s) + \rho Y(-s)$$

$$(\text{III-1.45})$$

$$G(-s) [1 + \rho F(-s) + \rho F(s)] = -Q^2 s^{-1} - F(-s) - \rho Y(-s) + \rho Y(s)$$

$$\frac{G(s)[1 + \rho F(s) + \rho F(-s)] - Q^2 s^{-1} - F(s) - \rho Y(s) + \rho Y(-s)}{G(-s)[1 + \rho F(-s) + \rho F(s)] - Q^2 s^{-1} - F(-s) - \rho Y(-s) + \rho Y(s)} = \dots$$

(III-1.46)

elde edilir. Buradan,

$$G(s)[Q^2 s^{-1} + F(-s) + \rho Y(-s) - \rho Y(s)] = G(-s)[-Q^2 s^{-1} + F(s) + \rho Y(s) - \rho Y(-s)]$$

dir. (III-1.47)

$G(s)[Q^2 s^{-1} + F(-s) - \rho Y(s) + \rho Y(-s)]$ ifadesi s' in bir fonksiyonudur.

$$G(s) = \frac{Q^2}{s} + F(-s) - \rho Y(s) + \rho Y(-s)$$

ifadesine göre,

olacaktır. Bu terimde,

$G(s)$, s^1 kısmı ile $s=0$ 'da basit bir kutba sahiptir. Bu nedenle, $s^2 G(s)[Q^2 s^{-1} + F(-s) - \rho Y(s) + \rho Y(-s)]$ miktarı da orijinde ve sağ yarı düzlemede düzenlidir, çünkü her iki faktörde sağ yarı düzlemede (RHP) düzenlidir.

Bu fonksiyon s' in bir fonksiyonu olduğundan, sol yarı düzlemede (LHP) düzenlidir ve böylece s' in bir tam fonksiyonudur.

Sol yarı düzlemede limit sonsuza gittiğinde;

$F(s)$ fonksiyonunun integral sınırları 0'dan $1+a$ 'ya kadar arttığından $F(s)$ 'in artma oranı,

$$0[s^{-1} \exp(-1-a)s]$$

$Y(s)$ fonksiyonunun integral sınırları 0'dan a 'ya kadar arttığından $Y(s)$ 'in artma oranı,

$$0[s^{-1} \exp(-as)]$$

Sol yarı düzlemede limit sonsuza gittiğinde $G(s)$ fonksiyonunun $-\rho^{-1}$ 'e gittiğini (III-1.42) ifadesi ile buluruz.

$s^2G(s)[Q^2s^{-1}+F(-s)-\rho Y(s)+\rho Y(-s)]$ ifadesinin $Y(s)$ fonksiyonu için artma oranı;

$O[s \exp(-as)]$ olacaktır.

$H(s)$ olarak yeni bir fonksiyon tanımlayalım,

$$H(s) = s^2G(s)[Q^2s^{-1}+F(-s)-\rho Y(s)+\rho Y(-s)] - s^2[Y(s)+Y(-s)]$$

(III-1.48)

Bu fonksiyon s 'nin bir çift tam fonksiyonudur.

(III-1.42) ifadesini bu fonksiyonda yerine yazalım,

$$\begin{aligned} H(s) &= s^2 [1 + \rho F(s) + \rho F(-s)]^{-1} \cdot \{Q^4s^{-2} + Q^2s^{-1} \cdot [F(-s) - F(s)] \\ &- 2\rho Y(s) + 2\rho Y(-s)\} - F(s) \cdot F(-s) - 2\rho F(s)Y(-s) - 2\rho F(-s)Y(s) - Y(s) \\ &- Y(-s) + \rho^2 [Y(s) - Y(-s)]^2 \end{aligned} \quad (\text{III-1.49})$$

Sol yarı düzlemede, en büyük artma oranı olan terim $F(s)$ olacaktır. Bu terimde,

$O[s^{-1}\exp(-l-a)s]$ dir.

Sol yarı düzlemede sonsuza gidiyorunda (III-1.1) ifadesinden yararlanarak

$$F(-s) = -\zeta(0)s^{-1} + O(s^2)$$

$$Y(-s) = -y(0)s^{-1} + O(s^2) \quad (\text{III-1.50})$$

$$\zeta(0) = Q^2 - 2\rho y(0)$$

kullanılacaktır.

Sol yarı düzlemede yarıçap boyunca sonsuza gittiğimizde

$H(s) = 0(1)$ buluruz. $H(s)$ fonksiyonu çift olduğundan, sağ yarı düzlemede de $H(s) = 0(1)$ olacaktır. Fakat Liouville's teoremine göre sonlu bir tam fonksiyon sabit olabiliyordu.

$s=1$ alındığında, diğer terimler sabit kabul edilerek

(III-1.48) ifadesi

$H = Q^2$ olarak bulunur.

$$H(s) = s^2 G(s) [Q^2/s + F(-s) - \rho Y(s) + \rho Y(-s)] - s^2 [Y(s) + Y(-s)]$$

(III-1.51) ifadesini koordinat uzayına dönmek üzere (III-1.51)

$$\text{Kuyrukuz kesişen cubuklar için } H(s) + s^2 [Y(s) + Y(-s)]$$

$$G(s) [Q^2/s + F(-s) - \rho Y(s) + \rho Y(-s)] = \frac{s^2 [Y(s) + Y(-s)]}{F(s) + G(s) - Q^2/s - \rho Y(s) + \rho Y(-s)} \quad (\text{III-1.52})$$

$$H(s) = Q^2 \quad \text{alınarak,}$$

$$G(s) [Q^2/s + F(-s) - \rho Y(s) + \rho Y(-s)] = Q^2/s^2 + Y(s) + Y(-s)$$

(III-1.53)

ifadesi elde edilir.

Bu durumda, çarpanlarına ayrılmadan en yakın komşu tipi bir kuyruk için sağlandığını yazabiliriz.

$a > l$ durumu için, (III-1.49) ifadesinin payındaki baskın terim $Y^2(s)$ dir.

Sol yarı düzlemede sonsuza gidiyorunda, $Y^2(s)$ 'in artma oranı $0[s^2 \exp(-2as)]$ olacaktır.

Ve $H(s)$ 'in artma oranı $0(1)$ den farklı olarak,

$0[s^{-1} \exp(-a+l)s]$ olacaktır.

(III-1.38) ve (III-1.53) ifadelerini birleştirelim;

$$F(s) + G(s) = Q^2/s - \rho F(s)G(s) - \rho F(-s)G(s) - \rho Y(s) + \rho Y(-s) \quad (\text{III-1.54})$$

(III-1.53) ifadesinden $Y(-s)$ için bir ifade çıkaralım,

$$G(s) [Q^2/s + F(-s) - \rho Y(s) + \rho Y(-s)] - Q^2/s^2 - Y(s) = Y(-s) \quad (\text{III-1.55})$$

bu ifadeyi (III-1.38) denkleminde yerine yazalım,

$$F(s) + G(s) = Q^2/s - \rho F(s)G(s) - \rho F(-s)G(s) + \rho [G(s) [Q^2/s + F(-s) - \rho Y(s) + \rho Y(-s)] - Q^2/s^2 - Y(s)] - \rho Y(s) \quad (\text{III-1.56})$$

$$F(s) + G(s) = Q^2/s - \rho Q^2/s^2 - \rho F(s)G(s) + \rho G(s)Q^2/s - \rho^2 G(s)Y(s) + \rho^2 Y(-s)G(s) - 2\rho Y(s) \quad (\text{III-1.57})$$

$$F(s) + G(s) = Q^2(1/s - \rho /s^2) - 2\rho Y(s) + \rho^2 Y(-s)G(s) - \rho^2 Y(s)G(s) - \rho F(s)G(s) + \rho Q^2G(s)/s \quad (\text{III-1.58})$$

ifadesini elde ederiz.

(III-1.58) ifadesini koordinat uzayına dönüştürsek;

Kuyruksuz katı çubuklar için $y=0$ olur.

Bu durumda (III-1.58) ifadesi,

$$F(s) + G(s) = Q^2(1/s - \rho/s^2) - \rho F(s)G(s) + \rho Q^2G(s)/s \quad (\text{III-1.59})$$

şeklini alır.

$G(s)$, $\rho F(s)G(s)$ ve $\rho Q^2s^{-1}G(s)$ ifadeleri $x < l$ için sıfır olan fonksiyonların Laplace dönüşümüdür.

$x < l$ için $Q^2(1/s - \rho/s^2)$ terimi $Q^2(1 - \rho x)$ 'in Laplace dönüşümüdür.

Böylece, $x < l$ için

$$C(x) = -\bar{C}(x) \quad \text{şartı kullanılarak}$$

$$\bar{C}(x) = -C(x) = Q^2(1 - \rho x) \quad (\text{III-1.60})$$

ifadesi elde edilir.

$$\bar{C}(0) = 1 + 2\rho \int_0^L \bar{C}(x) dx = Q^2(1 - \rho L) \quad (\text{III-1.61})$$

ifadesinde (III-1.60) şartı ve

$\bar{C}(0) = Q^2$ kullanılarak,

$$Q^2 = 1 + 2\rho \int_0^L Q^2(1 - \rho x) dx \quad (\text{III-1.62})$$

$$Q^2 = 1 + 2\rho \left[Q^2x - \rho Q^2x^2/2 \right]_0^L = 1 + 2\rho \left[Q^2L - \rho Q^2L^2/2 \right] \quad (\text{III-1.63})$$

$$Q^2 = 1 + 2\rho LQ^2 - \rho^2 Q^2 L^2 \Rightarrow Q^2 - 2\rho LQ^2 + \rho^2 Q^2 L^2 = 1$$

$$Q^2(1 - 2\rho L + \rho^2 L^2) = 1 \quad (\text{III-1.64})$$

$$Q^2 = 1 + \rho Q^2(2L - \rho L^2) = (1 - \rho L)^2 \quad (\text{teriminin}) \quad (\text{III-1.65})$$

elde edilir.

Bu yöntemde, Percus-Yevick denklemi basit bir metodla katı çubuklar için çözülür. [1]

(III-2) $g(x)$ FONKSİYONUNUN ÇIKARILMASI VE SONLU ARALIKTAKİ

DENKLEMLERE İNDİRGENME

Burada sıfır olmayan kuyruk durumunu düşünelim.

(III-1.58) denkleminin sağ tarafı dört çeşit terim içermektedir.

$Q^2(s^{-1} - \rho s^{-2})$ terimi $Q^2(1 - \rho x)$ 'in Laplace dönüşümüdür.

$-2\rho Y(s)$ terimi $-2\rho y(x)$ 'in Laplace dönüşümüdür, bu ifade $0 < x < a$ için sıfır değildir.

$-\rho^2 Y(-s)G(s)$ terimi $x < 1-a$ için sıfır olan bir fonksiyonun Laplace dönüşümüdür. Kalan terimlerin hepsi $x < 1$ için sıfır olan fonksiyonların Laplace dönüşümleridir.

$C(x)$ doğrudan korelasyon fonksiyonunu,

$$-C(x) = -C_0(x) - 2\rho y(x) + p(x-1) + q(x-1) \quad (\text{III-2.1})$$

şeklinde tanımlarız.

Burada, ($0 < x < 1$) için $-C_0(x) = Q^2(1 - \rho x)$

$x > 1$ için $-C_0(x) = 0$ (III-2.2)

$x < -a$ ve $x > 0$ için $p(x) = 0$

$x < 0$ ve $x > a$ için $q(x) = 0$

dir.

Buradaki $p(x-1)$ fonksiyonu,

$$p(x-1) = \rho^2 \int_{-a}^{x-1} y(-x') g(x-x') dx' \quad (\text{III-2.3})$$

şeklinde verilir.

(III-1.58) denklemi $\rho^2 Y(-s)G(s)$ teriminin ters Laplace dönüşümünde $x > 1+a$ için $g(x)$ 'i içerdiğinden $q(x-1)$ için denklemi ihmal ederiz.

$x > l + a$ için $g(x)$ 'i çıkarmak isteyelim ve tek başına $C(x)$ için bir denklem elde etmek isteyelim. Bunun için (III-1.38) ve (III-1.53) denklemlerine geri dönmek gerekecektir.

$$\text{ve } (III-1.38) \quad X(s) = [F(s) + 2\rho Y(s) - Q^2 s^{-1} + \rho Q^2 s^{-2}] \\ Z(s) = Q^2 s^{-2} + Y(s) + Y(-s) \quad (III-2.4)$$

denklemleri tanımlanır.

(III-1.38) ve (III-1.53) denklemlerini $X(s)$, $Z(s)$ ve $X(-s)$ ifadelerine göre birleştirdiğimizde

$$[X(s) - \rho Z(s)][X(-s) - \rho Z(s)] = -Z(s)[1 + \rho X(s) + \rho X(-s) - 2\rho^2 Z(s)] \quad (III-2.5)$$

veya

$$X(s)X(-s) - \rho X(s)Z(s) - \rho Z(s)X(-s) + \rho^2 Z^2(s) = -Z(s) - \rho Z(s)X(s) - \rho Z(s)X(-s) + 2\rho^2 Z^2(s) \quad (III-2.6)$$

$$X(s)X(-s) + \rho^2 Z^2(s) = -Z(s) + 2\rho^2 Z^2(s) \quad (III-2.7)$$

$$X(s)X(-s) = -Z(s) + \rho^2 Z^2(s) \quad (III-2.8)$$

olacaktır.

Şimdi,

$$X(s) = e^{-sl} \mu(s) v(s) \quad (III-2.9)$$

$$Z(s) = -\mu(s) \mu(-s) \quad (III-2.10)$$

$$v(s) v(-s) = \rho^2 \mu(s) \mu(-s) + 1 \quad (III-2.11)$$

ifadelerini tanımlayalım.

$G(s)$ ifadesini yukarıda verilen cinsinden yazmaya çalışalım.

$$G(s) \cdot [Q^2/s + F(-s) - \rho Y(s) + \rho Y(-s)] = Q^2 s^{-2} + Y(s) + Y(-s) \quad (III-2.12)$$

$$G(s) \cdot [Q^2 s^{-1} + F(-s) - \rho Y(s) + \rho Y(-s)] = Z(s) \quad (III-2.13)$$

$$X(-s) = F(-s) + 2\rho Y(-s) + Q^2 s^{-1} + \rho Q^2 s^{-2} \quad (III-2.14)$$

$$X(-s) - 2\rho Y(-s) - \rho Q^2 s^{-2} = F(-s) + Q^2 s^{-1} \quad (III-2.15)$$

$$G(s) \cdot [X(-s) - 2\rho Y(-s) - \rho Q^2 s^{-2} - \rho Y(s) + \rho Y(-s)] = Z(s)$$

(III-2.16)

$$G(s) \cdot [X(-s) - \rho [Y(-s) + Y(s) + Q^2 s^{-2}]] = Z(s)$$

(III-2.17)

ve (III-2.4) denklemi kullanılırsa,

$$G(s) [X(-s) - \rho Z(s)] = Z(s) \quad (\text{III-2.18})$$

$$Z(s)$$

$$G(s) = \frac{\text{---}}{X(-s) - \rho Z(s)} \quad (\text{III-2.19})$$

şeklinde olur.

Bu ifadede,

$$X(s) = e^{-sl} \mu(s) v(s)$$

$$X(-s) = e^{sl} \mu(-s) v(-s) \quad (\text{III-2.20})$$

$$Z(s) = -\mu(s) \mu(-s)$$

bağıntılarını koyarsak,

$$-\mu(s)$$

$$G(s) = \frac{\text{---}}{e^{sl} v(-s) + \rho \mu(s)} \quad (\text{III-2.21})$$

şeklinde elde ederiz.

$X(s) = \mu(s) v(s) \exp(-sl)$ ifadesinin çarpanlarına ayrılmasıında $Z(s)$ 'in de kökleri olan $X(s)$ 'nin tüm kökleri $\mu(s)$ içinde ortaya çıkar, $X(s)$ ve $\rho Z(s) - 1$ 'in genel kökleri $v(s)$ içinde ortaya çıkar.

Şimdiye kadar $\mu(s)$ ve $v(s)$ eksponansiyel faktörsüz olarak elde edilebiliyordu. $\mu(s)$, $\exp \phi(s)$ ile $v(s)$, $\exp[-\phi(s)]$ ile çarpılıyor. ($\phi(s)$ s 'nin bir tek fonksiyonudur.)

Elde edilen denklem önceki denklemlerin herhangi birindeki etkiye sahip olmayacağıdır. Buradaki faktör bir tam fonksiyon olarak seçilebilir. O zaman $\mu(s)$ ve $v(s)$ $s=0$ daki basit kutup hariç diğerleri için düzenli olacaktır.

$X(s)$ deki $\rho Q^2 s^{-2}$ ve $Z(s)$ deki $Q^2 s^{-2}$ kutupları, $\mu(s)$ deki Qs^{-1} ve $v(s)$ deki ρQs^{-1} kutupları ifade eder.

$$\mu(s) = Q/s + M(s), \quad v(s) = \rho Q/s - 1 + N(s) \quad (\text{III-2.22})$$

tanımlayalım. Burada $M(s)$ ve $N(s)$ tam fonksiyonlardır.

$\mu(s)$ ve $v(s)$ ifadelerinden çıkan açık terimler sadece $\mu(s)$ ve $v(s)$ 'in katı-çubuk değerleridir. Gerçek Q değeri ile Q 'nun katı-çubuk değeri yer değiştirecektir.

(III-2.22) ifadelerini (III.2.9), (III-2.10), (III-2.11) ve (III-2.21) denklemlerinde yerine koyalım;

Daha önceden $C(x)$ için tanımlanan (III-2.1) ifadesini kullanalım,

$l=0$ alınırsa, (III-2.1) ifadesi

$$-C(x) = Q^2(l - \rho x) - 2\rho y(x) + p(x) + q(x) \quad (\text{III-2.23})$$

şeklini alır.

Bu ifadeye Laplace dönüşümünü uygulayalım.

$$-\int_0^a C(x) e^{-sx} dx = Q^2(s^{-1} - \rho s^{-2}) - 2\rho Y(s) + \int_{-a}^0 p(x) e^{-sx} dx + \int_0^a q(x) e^{-sx} dx \quad (\text{III-2.24})$$

$$\int_{-a}^0 p(x) e^{-sx} dx = P(s)$$

$$\int_0^a q(x) e^{-sx} dx = II(s) \quad (\text{III-2.25})$$

diyelim ve

$$-\int_0^a C(x) e^{-sx} dx = F(s) \text{ olduğundan denklemi yeniden düzenleyelim.}$$

$$F(s) = Q^2(s^{-1} - \rho s^{-2}) - 2\rho Y(s) + P(s) + II(s) \quad (\text{III-2.26})$$

olur.

$X(s) = F(s) + 2\rho Y(s) - Q^2 s^{-1} + \rho Q^2 s^{-2}$ ifadesinde $F(s)$ 'i yerine yazalım.

$$X(s) = P(s) + \underline{I}(s) = e^{-st} \mu(s) v(s) \quad (\text{III-2.27})$$

$$l=0 \text{ için } X(s) = P(s) + \underline{I}(s) = \mu(s) v(s) \quad (\text{III-2.28})$$

bulunur. (III-2.22) bağıntıları kullanılarak

$$P(s) + \underline{I}(s) = [Q/s + M(s)][\rho Q/s - l + N(s)] \quad (\text{III-2.29})$$

$$\begin{aligned} M(s)N(s) + Q/s[N(s) + \rho M(s)] - M(s) &= Q/s[1 - \rho Q/s] + P(s) + \underline{I}(s) \\ &= Q/s - \rho Q^2/s^2 + Q^2/s - Q^2/s + P(s) + \underline{I}(s) \\ &= Q/s - Q^2/s + Q^2/s[1 - \rho /s] + P(s) + \underline{I}(s) \\ &= Q/s[1 - Q(1 - \rho l)] + P(s) + \underline{I}(s) \end{aligned}$$

$$M(s)N(s) + Q/s[N(s) + \rho M(s)] - M(s) = Q/s[1 - Q(1 - \rho l)] + P(s) + \underline{I}(s) \quad (\text{III-2.30})$$

ifadesi elde edilir.

$\mu(s)$ ve $v(s)$ ifadelerini (III-2.11) denkleminde yerine yazalım.

$$\begin{aligned} [\rho Q/s - l + N(s)] \cdot [-\rho Q/s - l + N(-s)] \\ = \rho^2 [Q/s + M(s)] \cdot [-Q/s + M(-s)] + 1 \quad (\text{III-2.31}) \end{aligned}$$

$$\begin{aligned} N(s)N(-s) + \rho Q/s[N(-s) - N(s)] - N(-s) - N(s) \\ = \rho^2 \{M(s)M(-s) + Q/s[M(-s) - M(s)]\} \quad (\text{III-2.32}) \end{aligned}$$

(III-2.4) ve (III-2.20) denklemleri arasındaki ilişki kullanılarak,

$$Q^2s^2 + Y(s) + Y(-s) = -\mu(s)\mu(-s) \quad (\text{III-2.33})$$

$$Q^2s^2 + Y(s) + Y(-s) = -[Q/s + M(s)] \cdot [-Q/s + M(-s)] \quad (\text{III-2.34})$$

$$Y(s) + Y(-s) = Q/s[M(s) - M(-s)] - M(s)M(-s) \quad (\text{III-2.35})$$

$$-[Y(s) + Y(-s)] = M(s)M(-s) + Q/s[M(-s) - M(s)] \quad (\text{III-2.36})$$

$$\begin{aligned} N(s)N(-s) + \rho Q/s[N(-s) - N(s)] - N(-s) - N(s) \\ = \rho^2 \{M(s)M(-s) + Q/s[M(-s) - M(s)]\} \\ = -\rho^2[Y(s) + Y(-s)] \quad (\text{III-2.37}) \end{aligned}$$

ifadesi elde edilir.

(III-2.22) denklemleri (III-2.21) ifadesinde yerine konulursa,

$$p(-x) = Q \int_x^a n(-x') dx' + \int_x^a m(x'-x)n(-x') dx' \quad (\text{III-2.40})$$

$$q(x) = -m(x) - \rho Q \int_x^a m(x') dx' + \int_x^a m(x')n(x-x') dx' \quad (\text{III-2.41})$$

$$1-Q(1-\rho) = \rho \int_0^a m(x') dx' + \int_0^a n(-x') dx' \quad (\text{III-2.42})$$

ifadeleri elde edilir.

(III-2.37) ifadesinin ters Laplace dönüşümü alınırsa;

$$\begin{aligned} & \int_x^a n(-x')n(x-x') dx' + \rho Q \int_x^a n(-x') dx' - n(-x) \\ &= \rho^2 \left[\int_x^a m(x')m(x'-x) dx' + Q \int_x^a m(x') dx' \right] \\ &= -\rho^2 y(x) \end{aligned} \quad (\text{III-2.43})$$

ifadesi ortaya çıkar.

$\gamma(x) = g(x+1)$ tanımlanarak, $0 < x < a$ aralığı için;

(III-2.39) ifadesinin ters Laplace dönüşümü alınırsa,

$$-\gamma(x) - \rho Q \int_0^x \gamma(x') dx' + \int_0^x \gamma(x')n(x-x') dx' = -Q - m(x) \quad (\text{III-2.44})$$

ifadesini elde ederiz.

(III-2.41), (III-2.43) ve (III-2.44) denklemleri üçlü olarak birleştirilmiş kuadratik integral denklemlerinin kapalı bir takımını oluşturur. Bu integral denklemleri Q parametre değeri ile ilgili olan (III-2.42) yardımcı denklemi ile $m(x)$, $n(x)$ ve $q(x)$ değerleri içindir.

($\gamma(x)$ değeri,

$-\gamma(x)f_T(x+1) = q(x)e_T(x+1)$ ifadesi ile
 $q(x)$ 'a bağlı oluyor.)

$$G(s)\{e^{st} v(-s) + \rho \mu(s)\} = -\mu(s) \quad (\text{III-2.38})$$

$$G(s)\{e^{st}[-\rho Q/s - l + N(-s)] + \rho [Q/s + M(s)]\} = -Q/s - M(s) \quad (\text{III-2.39})$$

elde edilecektir.

(III-2.30) ifadesinin sağ tarafı $x > a$ için $Q[1 - Q(1 - \rho l)]$ sabit değerine sahip olan bir fonksiyonun Laplace dönüşümüdür.

(III-2.30)'nin sol tarafının ters Laplace dönüşümü de, eğer $M(s)$ ve $N(s)$ $m(x)$ ve $n(x)$ fonksiyonlarının Laplace dönüşümü ise bu formda olabilecektir. Fonksiyonlardan biri $-a < x < 0$ aralığının dışında ortadan kaybolacağından diğer $0 < x < a$ aralığı hariç diğer aralıklarda sıfır olacaktır.

Benzer olarak, (III-2.37) ifadesinin sağ tarafı $x > a$ için sıfır olan bir fonksiyonun Laplace dönüşümüdür ve (III-2.37)'nin sol tarafı eğer $m(x)$ ve $n(x)$ fonksiyonları $-a < x < 0$ ve $0 < x < a$ aralıklarıyla sınırlanıysa otomatik olarak Laplace dönüşümü davranışına sahip olacaklardır.

(III-2.30) ve (III-2.37) ifadelerinin sağladığı iki alternatif arasındaki doğru seçim, yeni elde edilen $y(x)$, $p(x)$, $q(x)$ ve $g(x)$ arasındaki,

$$y(x) = \int_{x+l}^{a+l} q(x') g(x-x') dx'$$

$$p(x-l) = \rho^2 \int_{-a}^{x-l} y(-x') g(x-x') dx'$$

bağıntıları ile her bir seçimin uygunluğunu test ederek bulabiliriz.

Doğru seçimin, $0 < x < a$ ile sınırlı $m(x)$ ve $-a < x < 0$ ile sınırlı $n(x)$ olduğu meydana çıkacaktır.

(III-2.30) ifadesinin ters Laplace dönüşümü alınırsa;

Böylece çift dağılım fonksiyonu tamamen çıkarılmıştır ve doğrudan korelasyon fonksiyonu için denklemdeki integrasyon aralığı tek başına kuyruk potansiyelinin aralığına indirgenebilir.

Bu indirgemenin karakteristik bir özelliği, sıkışabilirliğin karekökünün bir parametre olarak ortaya çıktığını gösterir. Oysaki, sıkışabilirlik kendi başına orijinal Percus-Yevick denkleminde ortaya çıkar.^[11]

İntegral Mekanik'te çift dağılım fonksiyonu için ileri sürülen cogitki yaklaşık integral denklemlerinden biri olan Percus-Yevick denkleminin Laplace dönüşümü yardımı ile tek boyuttaki çözümü incelenmiştir.

Buçada kullanılan metod da Percus-Yevick denkleminin ayrıntılı bir çözümü ortaya çıkmıştır. Kullanılan metod, Laplace dönüşümü yapılmış Percus-Yevick denklemi için kompleks değişkenli fonksiyonların bazı temel teorilerinin uygulanmasına işaretettir. Buradaki çalışmada potansiyel kuyruğunu sonlu olabileceği veya sadace integrablebilir singularitetlere sahip olabileceği Pekat akın halde keyfi elaboleceği farkedilmıştır. Böyle bir özelliğe sahip potansiyel kuyruk ile katı bir cubukta olmayan sistemler için, Percus-Yevick denklemi çarpanlarına ayrılır ve çift dağılım fonksiyonu elde etmek için kullanılır. Böylece tek başına doğrudan korelasyon fonksiyonu için bir denklem orkeye çıkar.

Şimdi kuyruk啄umunda katı cubuk için olsun basit bir şekilde eide adı jere. Nitekim olsaydı bu zaman derste, $C(x)$ doğrudan korelasyon fonksiyonu için denklem sızdır. hapsiz malarla uygun olan bir form içinde ifade edilebilir.

BÖLÜM IV

SONUÇLAR VE TARTIŞMA

Bu çalışmada, Klasik İstatistik Mekanik'te çift dağılım fonksiyonu için ileri sürülen çeşitli yaklaşık integral denklemelerinden biri olan Percus-Yevick denkleminin Laplace dönüşümü yardımı ile tek boyuttaki çözümü incelenmiştir.

Burada kullanılan metod da Percus-Yevick denkleminin ayrıntılı bir çalışması ortaya çıkmıştır. Kullanılan metod, Laplace dönüşümü yapılmış Percus-Yevick denklemi için kompleks değişkenli fonksiyonların bazı temel teorilerinin uygulamalarından ibarettir. Buradaki çalışmada potansiyel kuyruğunun sonlu olabileceği veya sadece integre edilebilir singüleritelere sahip olabileceği fakat aksi halde keyfi olabileceği farzedilmiştir. Böyle bir özelliğe sahip potansiyel kuyruk ile katı bir çubuktan ibaret olan sistemler için, Percus-Yevick denklemi çarpanlarına ayrılır ve çift dağılım fonksiyonunu çıkarmak için kullanılır. Böylece tek başına doğrudan korelasyon fonksiyonu için bir denklem ortaya çıkar.

Sıfır kuyruk durumunda, katı çubuk için çözüm basit bir şekilde elde edilir. Sıfır olmayan kuyruk durumunda, $C(x)$ doğrudan korelasyon fonksiyonu için denklem nümerik hesaplamalara uygun olan bir form içinde ifade edilebilir.

KAYNAKLAR

- 1- Egelstaff, P.A.,
"An Introduction to the Liquid State",
Ac. Press., New York and London (1967).
- 2- March, N.H.,
"Liquid Metals",
Pergamon Press, Oxford (1968).
- 3- March, N.H. and Tosi, M.P.,
"Atomic Dynamics in Liquids",
Macmillan Press, (1976).
- 4- Hansen, J.P. and McDonald, I.R.,
"Theory of Simple Liquids",
Ac. Press. London (1976).
- 5- Waseda, Y.,
"The Structure of Non-crystalline Materials",
McGraw-Hill Inc. (1980).
- 6- March, N.H., Street, R.A. and Tosi, M.P.,
"Amorphous Solids and the Liquid State",
Plenum Press, (1985).
- 7- Iida, T. and Guthrie, R.I.L.,
"The Physical Properties of Liquid Metals",
Clarendon Press. Oxford (1988).

- 8- Von der Pol, B. and H.Bremner,
"Operational Calculus Based on the Two-sided Laplace Integral"
Cambridge University Press, New York (1955).
- 9- Necdet San,
"Kompleks Fonksiyonlar Teorisi",
Ege Üniversitesi Fen Fakültesi Baskı İşleri,
İzmir, (1979).
- 10- Butkov, Eugene
"Mathematical Physics",
Addison-Wesley Publishing Company, (1973).
- 11- Wertheim, M.S.,
Journal of Mathematical Physics,
5, 643 (1963).
- 12- Wertheim, M.S.,
Physical Review Letters,
10, 321 (1963).
- 13- Thompson N.E., and Freasier B.C.,
Molecular Physics,
41, 127 (1980).
- 14- Thiele, E.,
The Journal of Chemical Physics,
39, 474 (1963).
- 15- Ashcroft, N.W. and Lecner, J.,
Physical Review,
145, 83 (1966).



